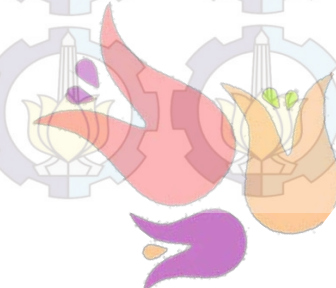


SINTESIS, KARAKTERISASI DAN KINERJA KATALIS $Mg_{1-x}Cu_xF_{0,66}(OH)_{1,34}$ PADA REAKSI TRIMETIL HIDROKUINON DAN ISOFITOL

Oleh :
Irsalina Rizki Rachma
1412100056

Dosen Pembimbing :
Prof. Dr. rer. nat. Irmina Kris Murwani



LATAR BELAKANG

KATALIS

Katalis Homogen

H_2SO_4 , HCl , H_3PO_4 , HNO_3
(Khayoon dan Hameed, 2011)

- Bersifat korosif
- Sulit digunakan kembali
- Proses pemisahan sulit dilakukan
(Zhou dkk., 2012)

Katalis Heterogen

Zeolit, ZSM-5, Amberlyst, Nafion,
MOF, MgF_2

- Tidak korosif
- Dapat digunakan kembali
- Proses pemisahan dapat dilakukan

Bonrath dan Netscher, 2005

TMHQ

ISOFITOL

Asam Lewis

Asam
Brønsted

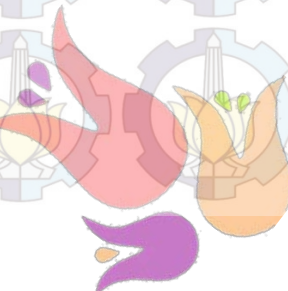
Asam Lewis
Asam Brønsted

α -tokoferol

Benzofuran

Antioksidan
(Fithriyah, 2013)

Sensor *Fluorescent*
(Liu dkk., 2012)

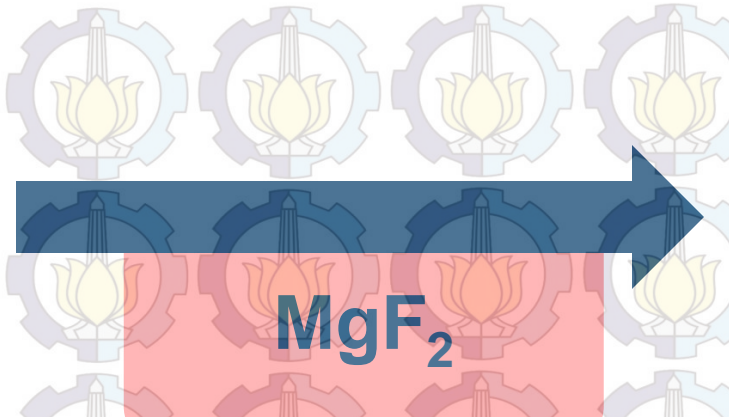


Wuttke, 2008

TMHQ

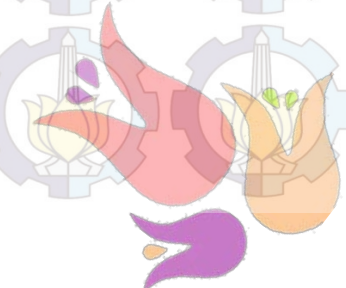


ISOFITOL



α -tokoferol

Benzofuran



MgF_2

Modifikasi

Keasaman Lewis <<

Keasaman Brønsted

OH

Keasaman Lewis

Doping Cu



$$x = 0; 0,025; 0,05; 0,075; 0,1; 0,15$$

Kinerja Katalis



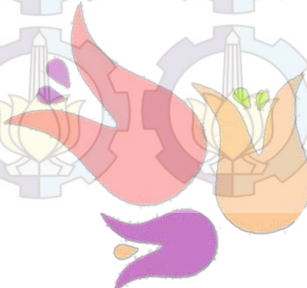
TUJUAN

$x = 0; 0,025; 0,05; 0,075; 0,1; 0,15$



MANFAAT

Informasi mengenai katalis heterogen yang sesuai untuk reaksi TMHQ dan Isofitol



METODOLOGI PENELITIAN

Sintesis Katalis
 $Mg_{1-x}Cu_xF_{0,66}(OH)_{1,34}$

Karakterisasi

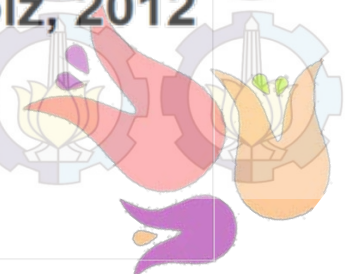
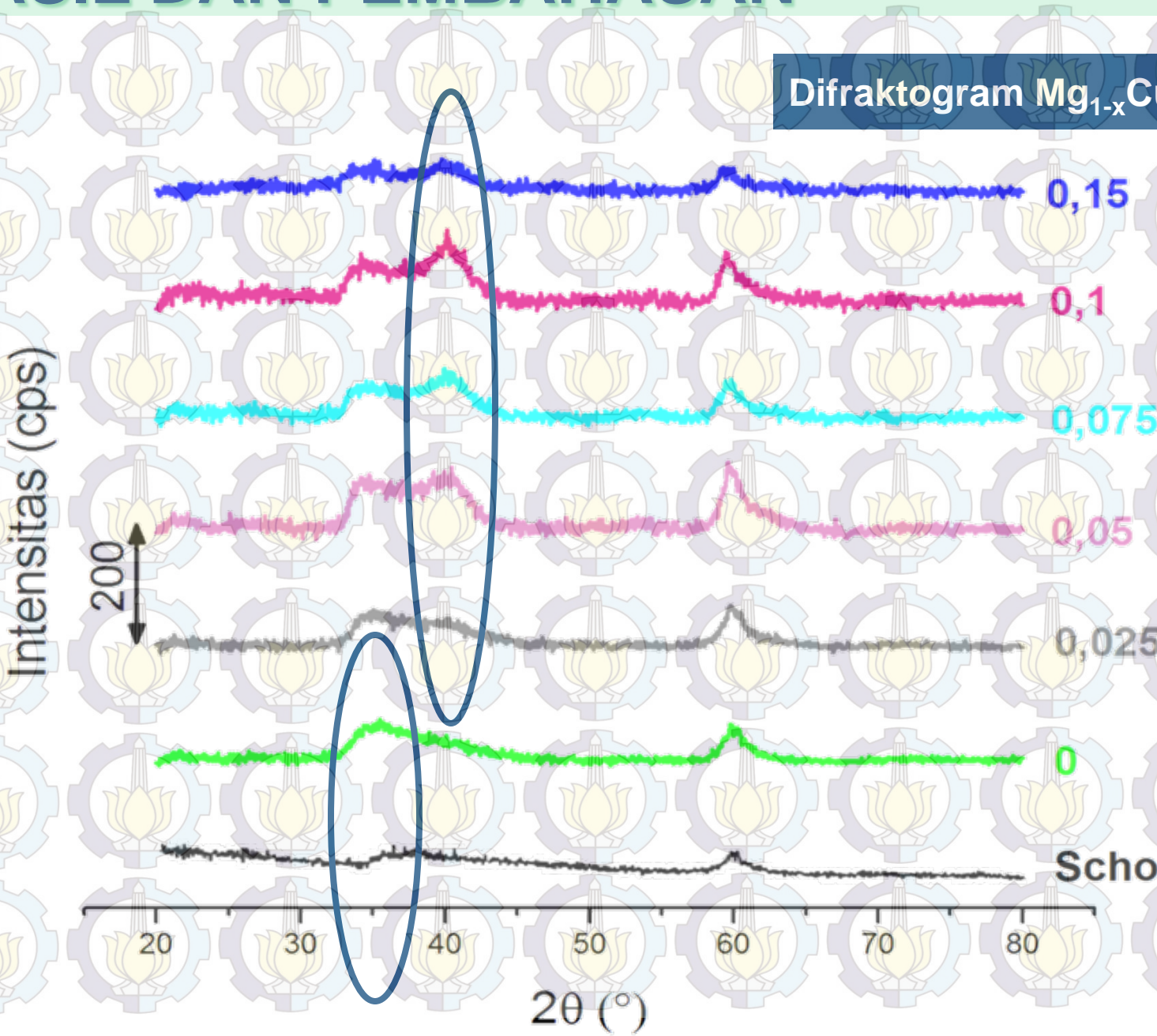
XRD
FTIR
Adsorpsi Piridin-FTIR
Adsorpsi Gas N₂

Uji Katalisis

Reaksi TMHQ dan
Isofitol :
Analisis UV-Vis

$x = 0; 0,025; 0,05; 0,075; 0,1;$ dan $0,15$

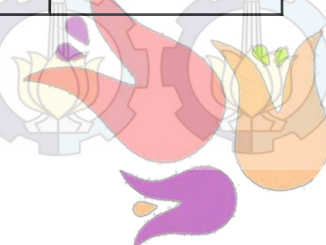
HASIL DAN PEMBAHASAN



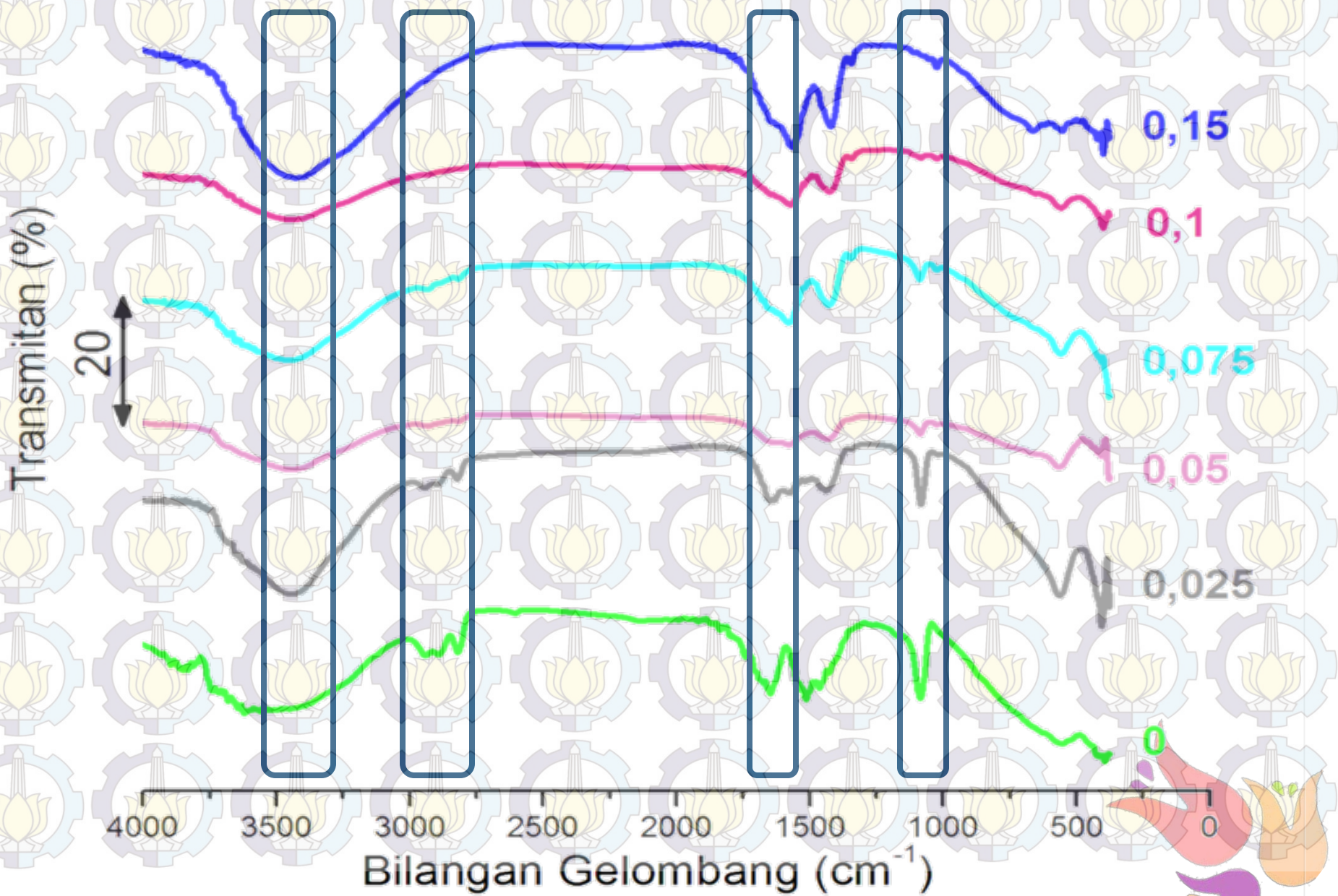
Nilai Pergeseran 2θ Katalis $Mg_{1-x}Cu_xF_{0,66}(OH)_{1,34}$

Nilai x pada katalis $Mg_{1-x}Cu_xF_{0,66}(OH)_{1,34}$	$2\theta (^{\circ})$
0	35,15 - 59,90
0,025	37 59,90
0,05	09 59,62
0,075	09 59,62
0,1	34,31 40,37 59,34
0,15	35,15 40,09 59,34

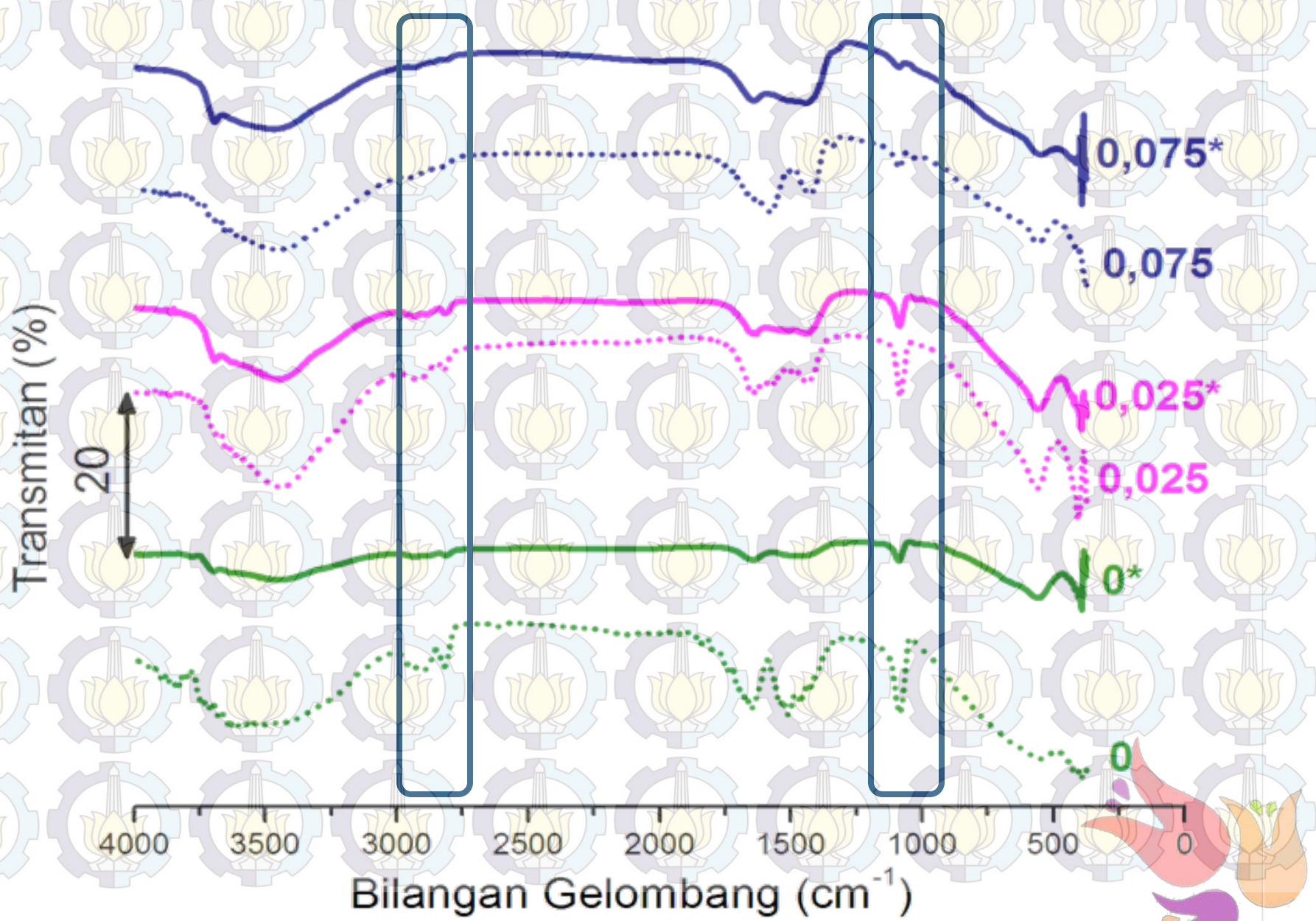
Pergeseran 2θ : indikasi doping Cu telah terjadi



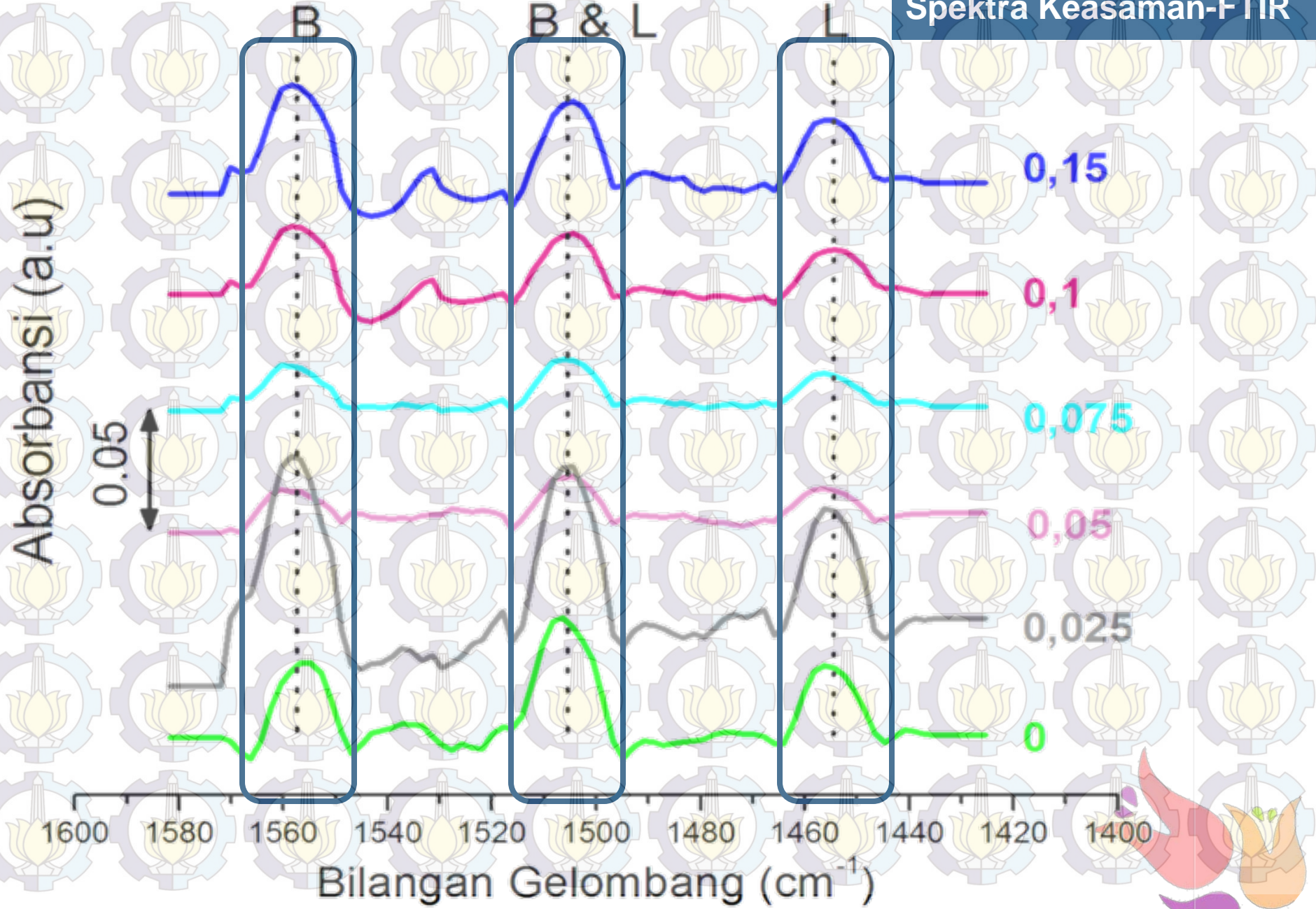
Spektra FTIR Xerogel $Mg_{1-x}Cu_xF_{0,66}(OH)_{1,34}$



Perbandingan Spektra FTIR Setelah Kalsinasi

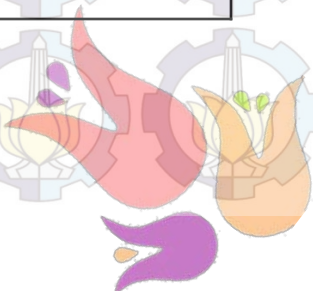


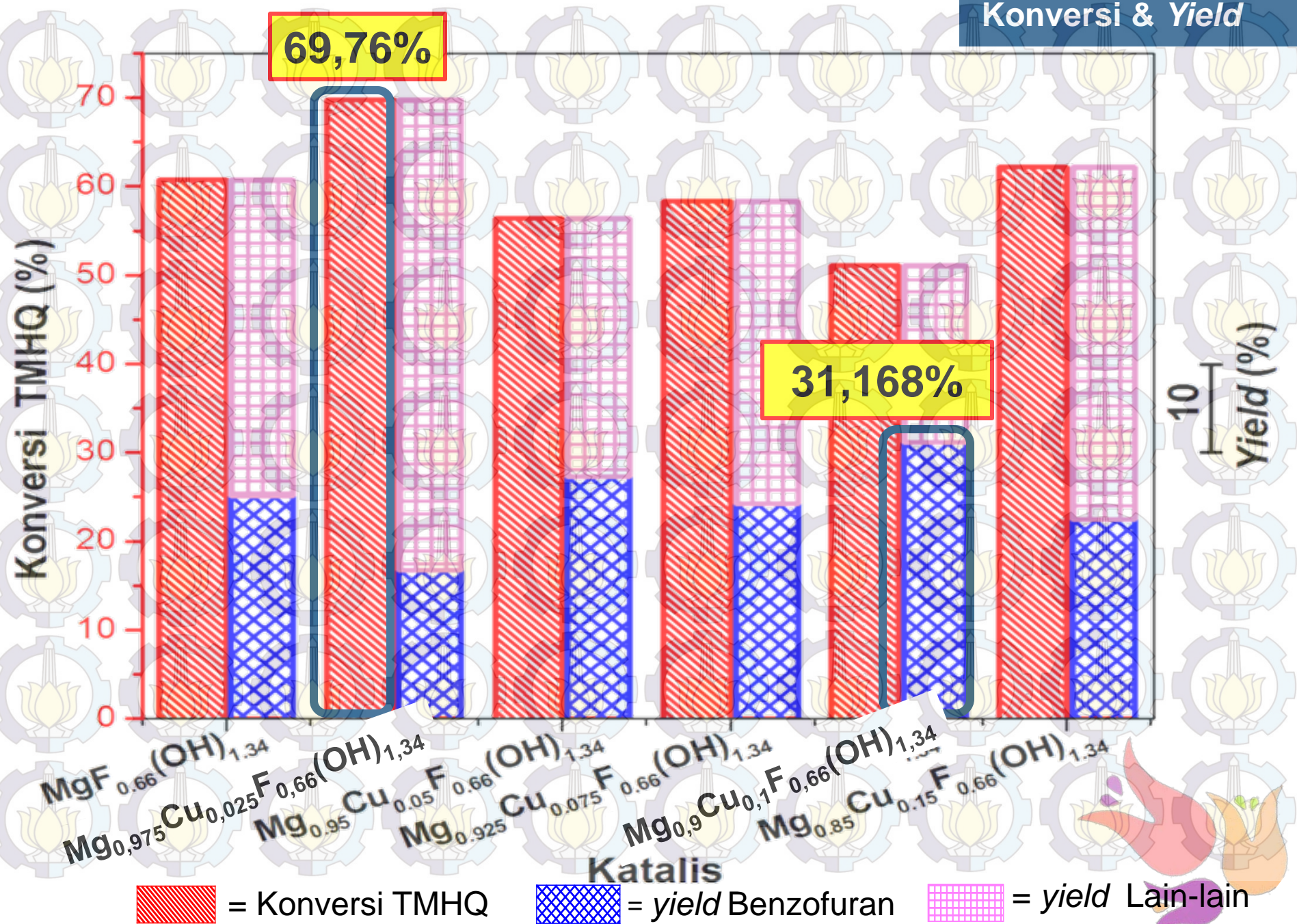
Spektra Keasaman-FTIR



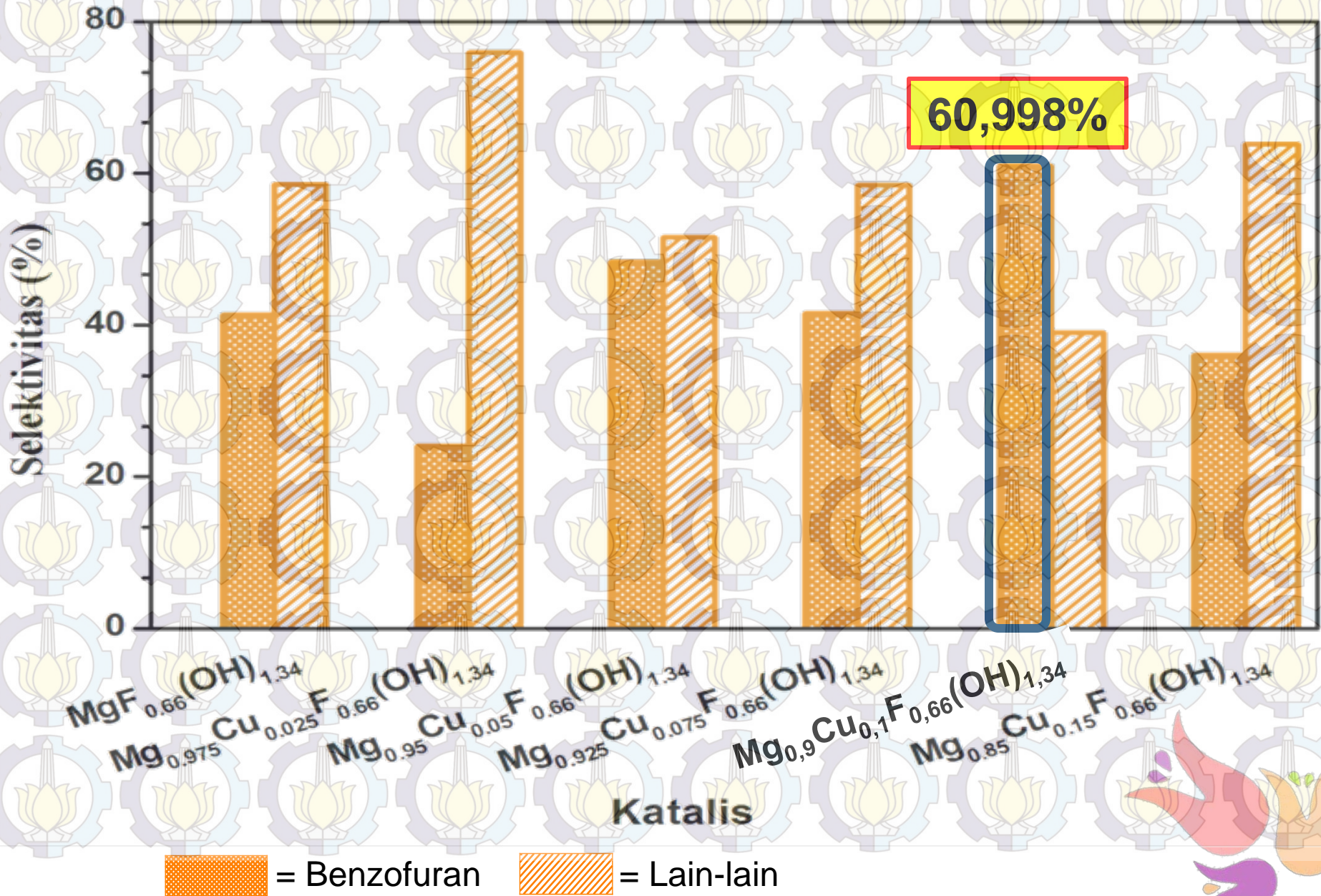
Luas Permukaan Katalis

Katalis	Luas Permukaan (m ² /g)
MgF _{0,66} (OH) _{1,34}	26,884
Mg _{0,975} Cu _{0,025} F _{0,66} (OH) _{1,34}	171,741
Mg _{0,95} Cu _{0,05} F _{0,66} (OH) _{1,34}	256,239
Mg _{0,925} Cu _{0,075} F _{0,66} (OH) _{1,34}	312,064
Mg _{0,9} Cu _{0,1} F _{0,66} (OH) _{1,34}	362,011
Mg _{0,85} Cu _{0,15} F _{0,66} (OH) _{1,34}	306,272

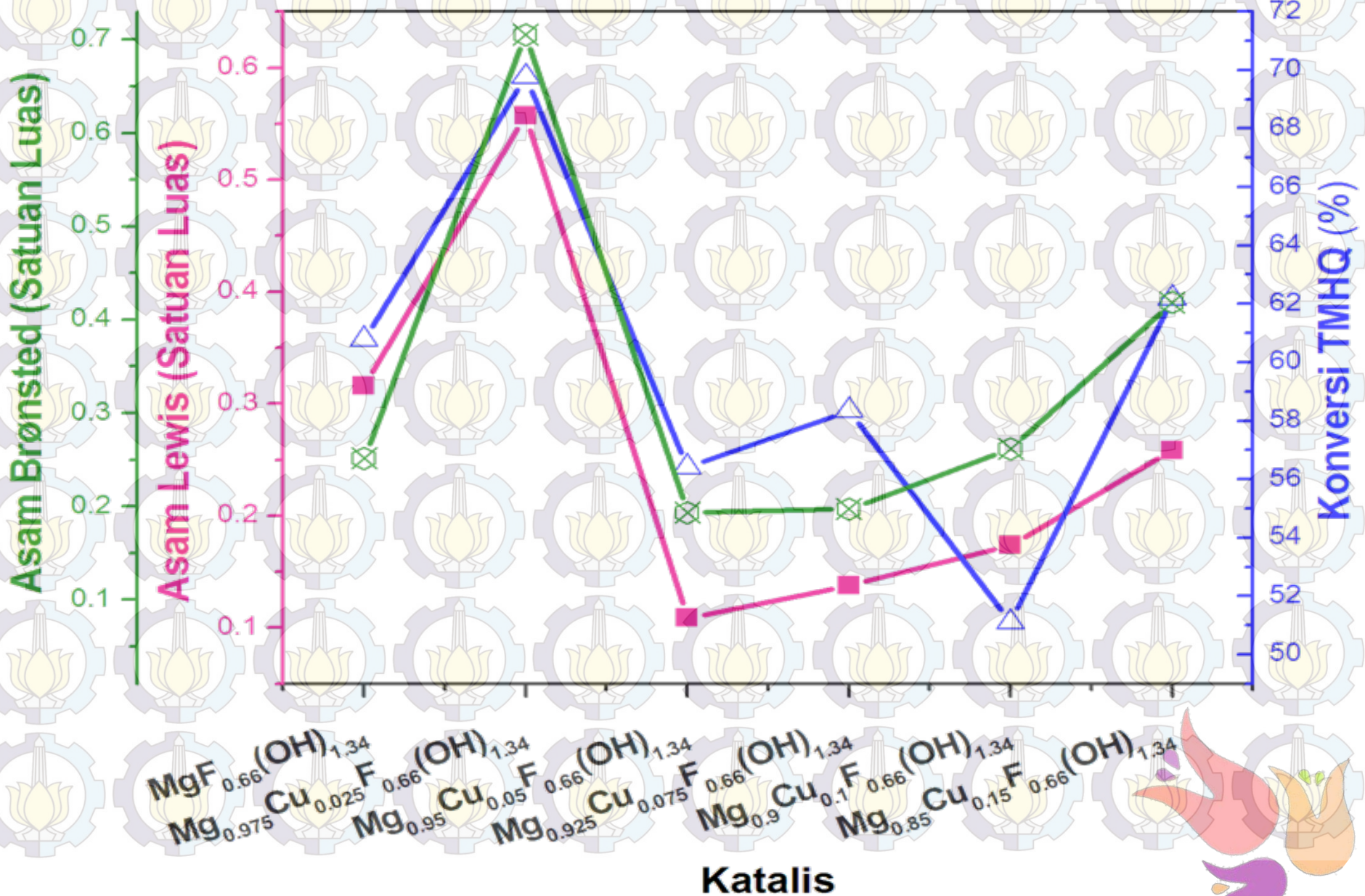




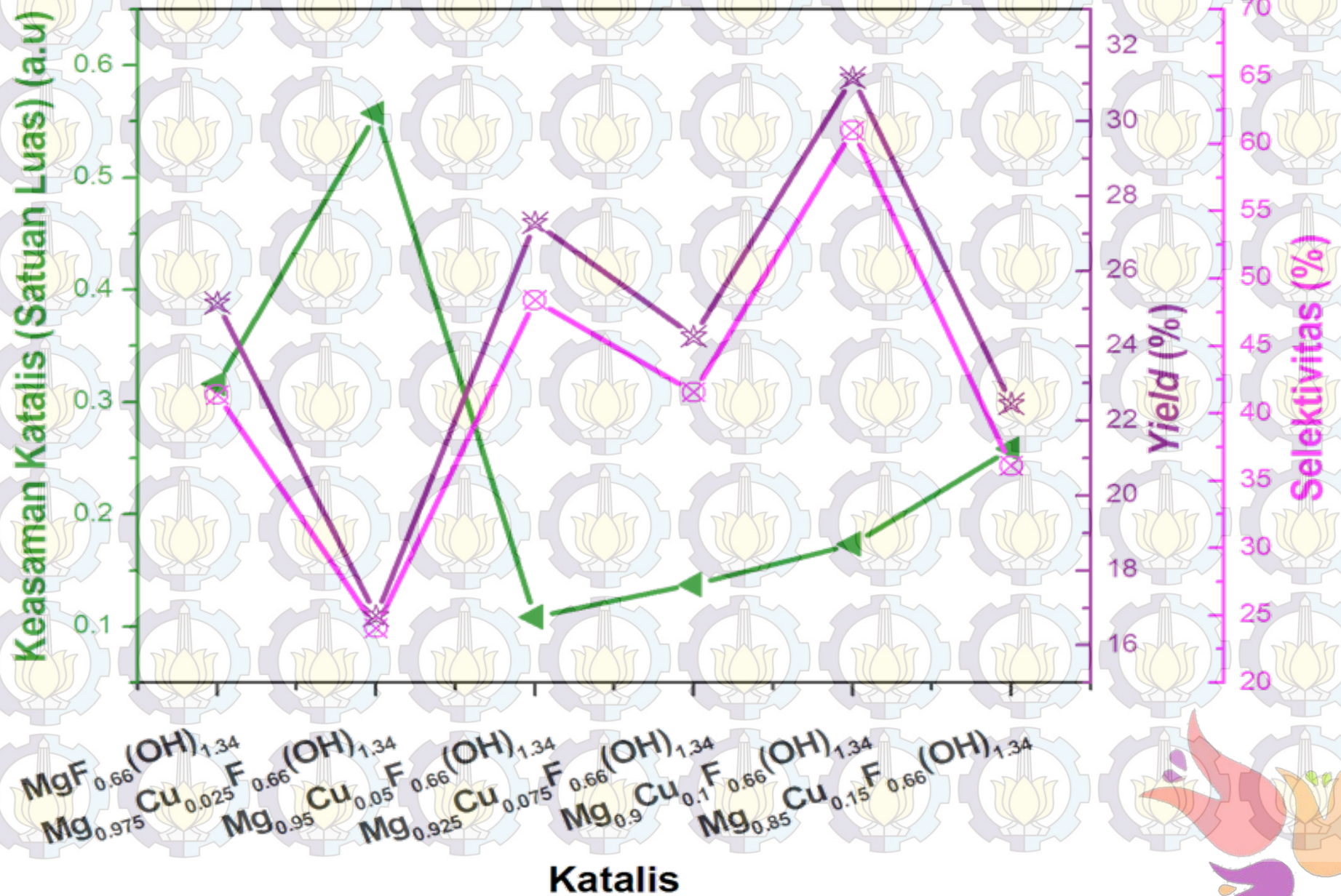
Selektivitas Produk Reaksi



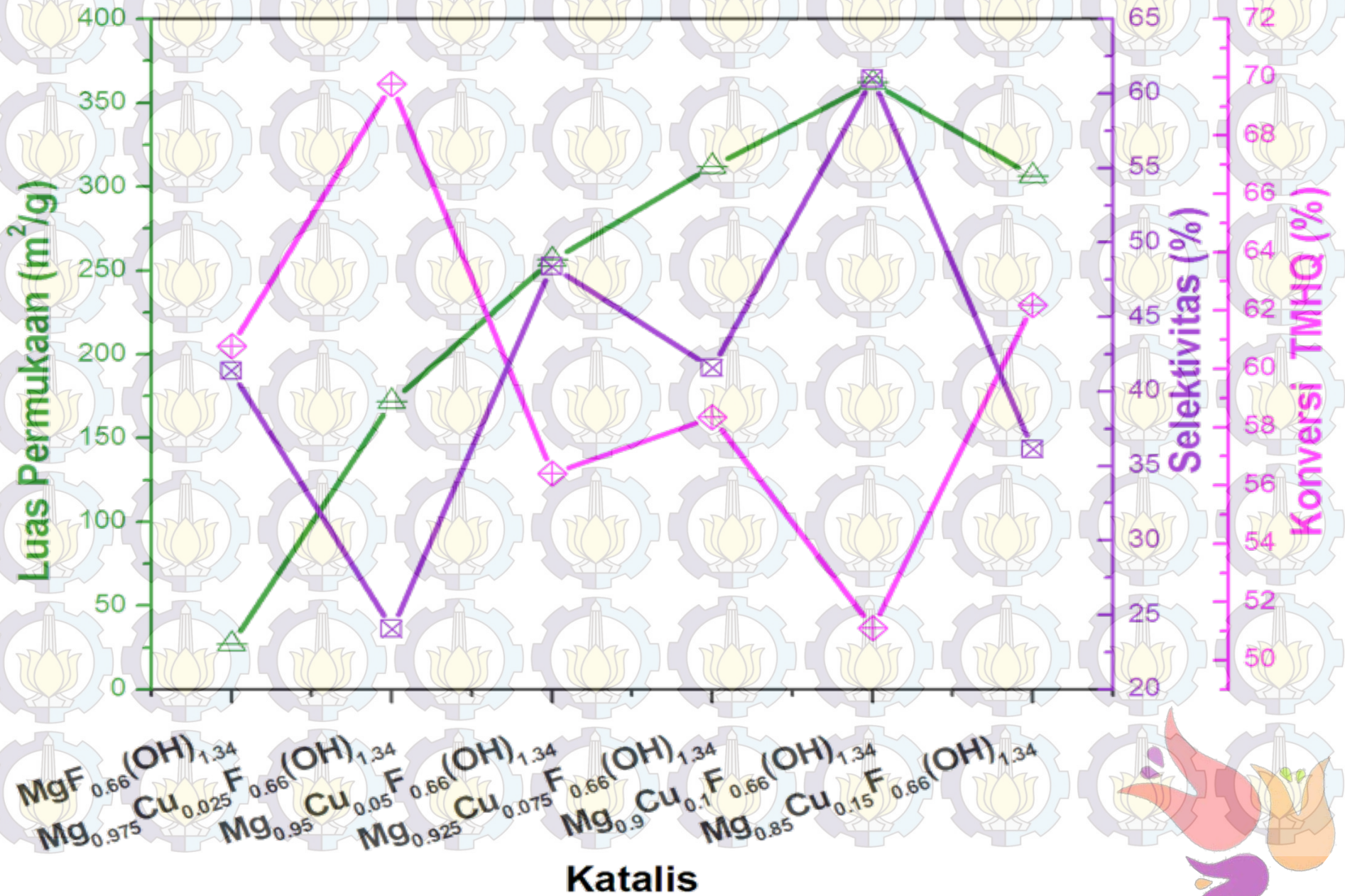
Korelasi antara Keasaman pada Katalis dengan Konversi TMHQ



Korelasi antara Keasaman pada Katalis dengan Yield dan Selektivitas



Korelasi antara Luas Permukaan Katalis dengan Selektivitas dan Konversi TMHQ



KESIMPULAN



$x = 0$

$x = 0,025$

$x = 0,05$

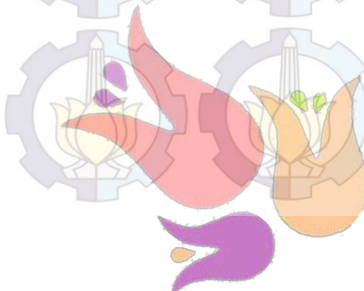
$x = 0,075$

$x = 0,1$

$x = 0,15$

Konversi

69,76 %



KESIMPULAN



$x = 0$

$x = 0,025$

$x = 0,05$

$x = 0,075$

$x = 0,1$

$x = 0,15$

Konversi

Yield

Selektivitas

Benzofuran

31,168 %

60,998 %

Keasaman Lewis

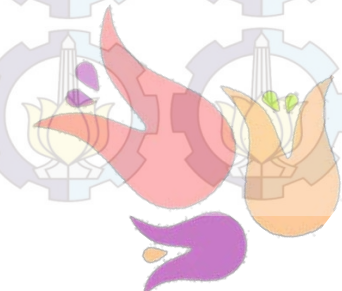
Keasaman Brønsted

Luas Permukaan

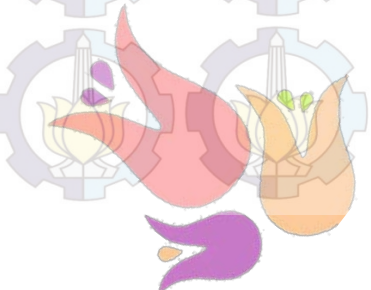


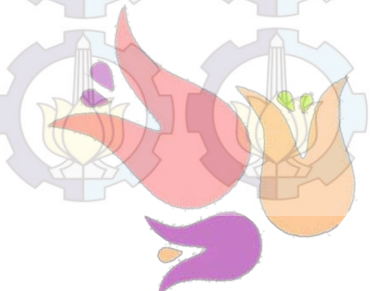
TERIMAKASIH

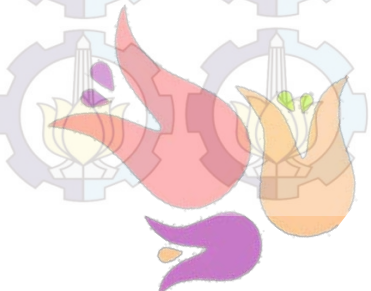
-Prof. Dr. rer. nat. Irmina Kris Murwani
-Dosen - dosen penguji
-Teman-teman tim penelitian katalis
**-Semua pihak yang membantu dalam
penyusunan Skripsi ini.**

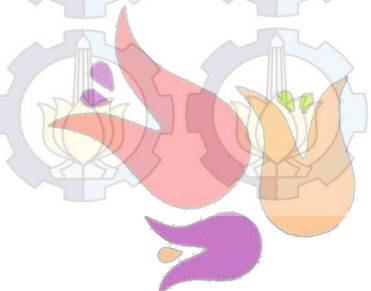


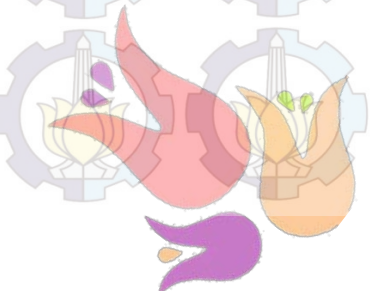












Sintesis Katalis Katalis

$MgF_{0,66}(OH)_{1,34}$

Mg turning (s)

Metanol (l)

- direndam (semalaman)
- direfluks dengan suhu 65 °C

$MgO(CH_3)_2$ (aq)

HF (aq)

-diaduk hingga homogen

Sol

-diaduk terus menerus

Gel

- diperam pada suhu ruang hingga stabil
- dikeringkan dengan vakuum

Padatan

-digerus

Serbuk

- dilakukan kalsinasi pada suhu 300 °C
- dikarakterisasi

Tidak

Ya

Uji Katalisis

- XRD
- FTIR
- Uji keasaman
- BET

- Konversi
- Selektivitas
- Yield

Data

Data

Sintesis Katalis Katalis

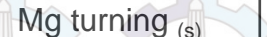
$Mg_{1-x}Cu_xF_{0,66}(OH)_{1,34}$



-diaduk hingga homogen

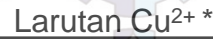


*dengan variasi jumlah mol Cu : 0,025; 0,05; 0,075; 0,1; dan 0,15



-direndam (semalam)

-direfluks dengan suhu 65 °C



-diaduk hingga homogen



Emulsi

-diaduk hingga homogen

Sol

-diaduk terus menerus

Gel

-diperam pada suhu ruang hingga stabil

Padatan

-digerus

Serbuk

-dilakukan kalsinasi pada suhu 300 °C

-dikarakterisasi

Tidak

Ya

Uji Katalisis

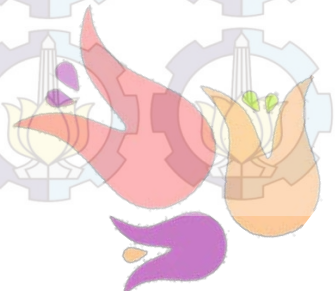
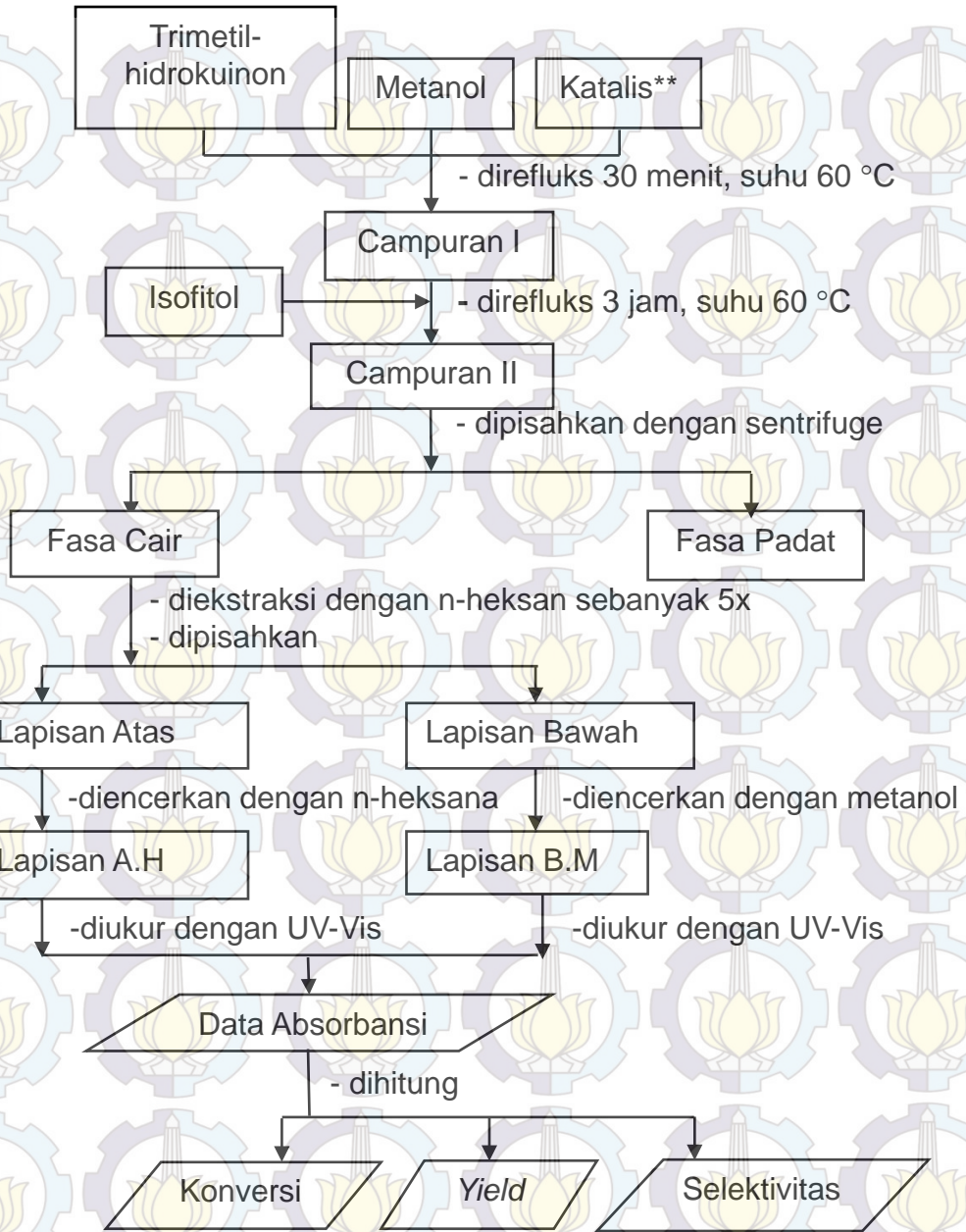
- XRD
- FTIR
- Uji keasaman
- BET

Data

- Konversi
- Selektivitas
- Yield

Data

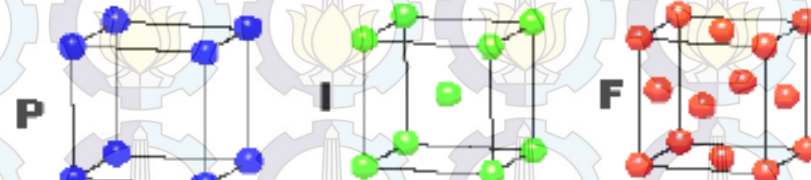
Uji Katalisis pada Reaksi TMHQ dan Isofitol



Geometri kristal

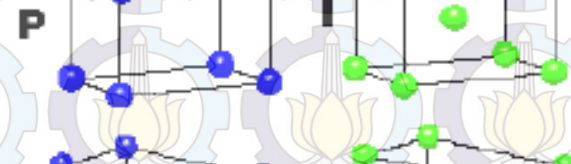
CUBIC

$a = b = c$
 $\alpha = \beta = \gamma = 90^\circ$



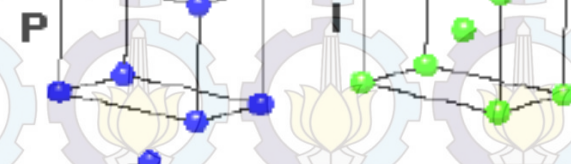
TETRAGONAL

$a = b \neq c$
 $\alpha = \beta = \gamma = 90^\circ$



ORTHORHOMBIC

$a \neq b \neq c$
 $\alpha = \beta = \gamma = 90^\circ$



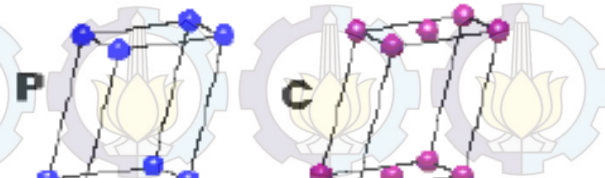
HEXAGONAL

$a = b \neq c$
 $\alpha = \beta = 90^\circ$
 $\gamma = 120^\circ$



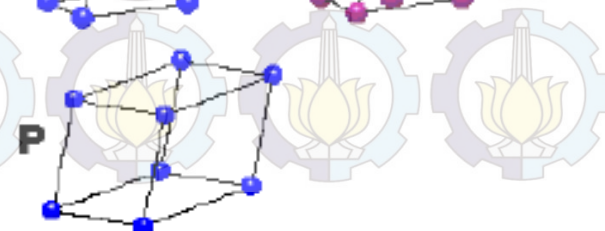
MONOCLINIC

$a \neq b \neq c$
 $\alpha = \gamma = 90^\circ$
 $\beta \neq 120^\circ$



TRICLINIC

$a \neq b \neq c$
 $\alpha \neq \beta \neq \gamma \neq 90^\circ$



4 Types of Unit Cell

P = Primitive

I = Body-Centred

F = Face-Centred

C = Side-Centred

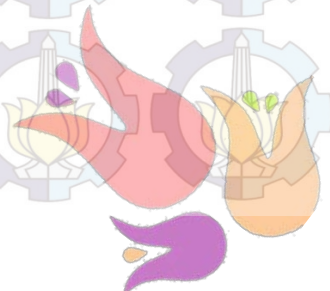
+

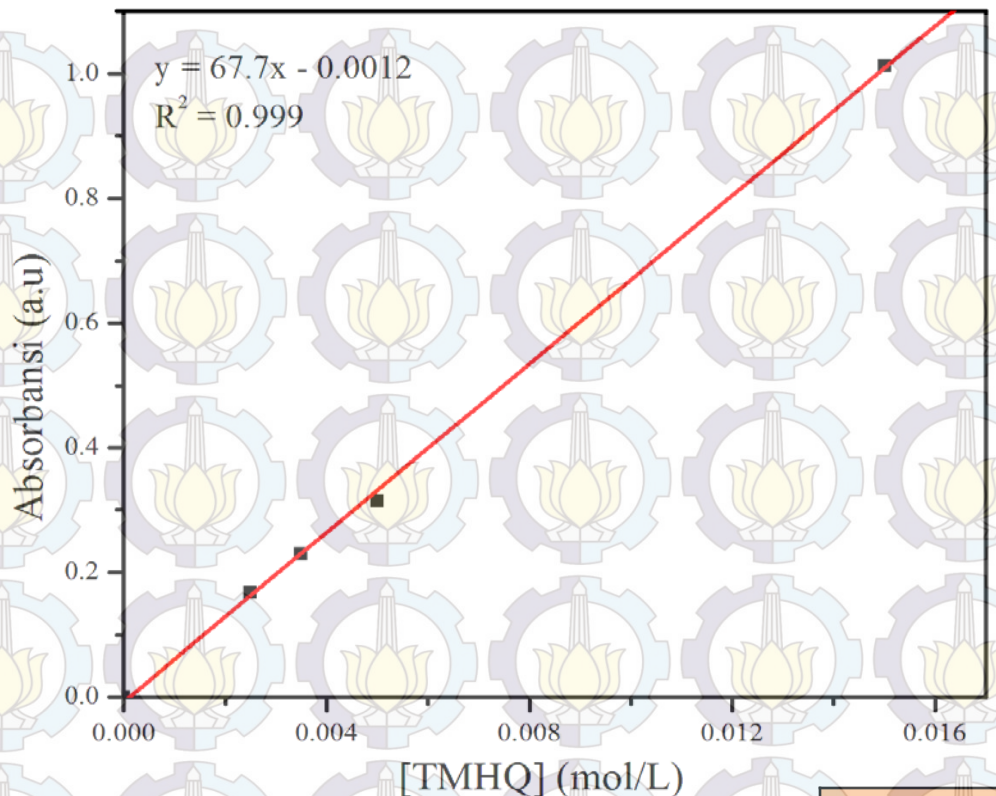
7 Crystal Classes

→ 14 Bravais Lattices

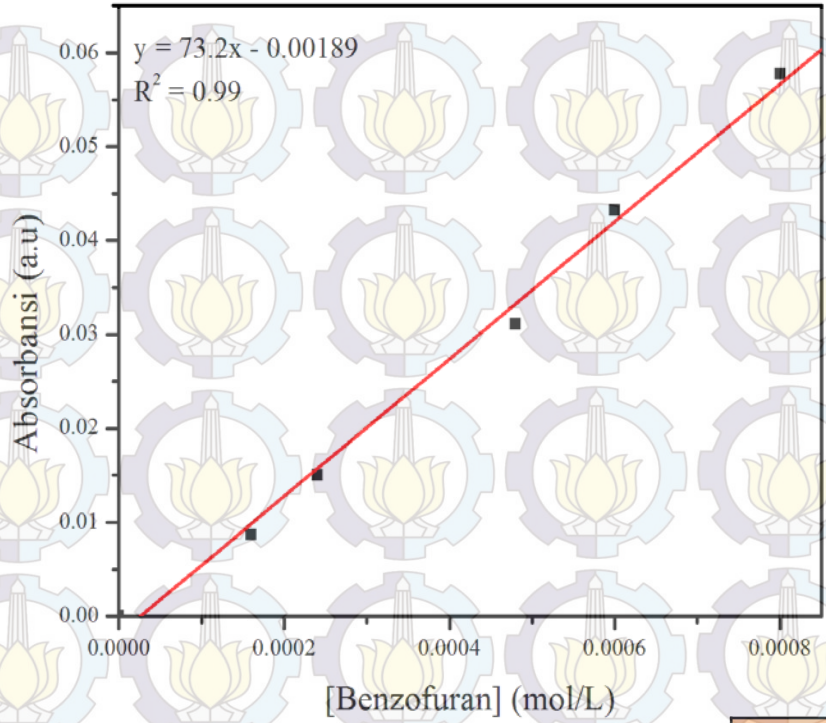


	<i>Mixed powders</i>	<i>Coprecipitation</i>	<i>Sol-gel</i>	<i>Hydrothermal</i>	<i>Spray and freeze drying</i>
State of development	Commercial	Commercial	Commercial; research and development	Demonstration	Demonstration
Size of particle (nm)	>1000	>10	>10	>100	>10
Homogeneity	Poor	Good	Very good	Very good	Very good
Purity	Poor	Very good	Excellent	Very good	Excellent
Temperature of calcination (°C)	>1000	500–1000	500–1000	80–374	>150
Agglomeration	Moderate	High	Moderate	Low	Low
Costs	Low to moderate	Moderate	Moderate to high	Moderate	Moderate to high





Konsentrasi (mol/L)	Absorbansi (a.u)
0	0
0,0025	0,168
0,0035	0,23
0,005	0,315
0,015	1,013



Konsentrasi (mol/L)	Absorbansi (a.u.)
0	0
0,00016	0,00871
0,00024	0,015
0,00048	0,03114
0,0006	0,0432
0,0008	0,05776

UV1100 Spectrophotometer

Serial NUM: 5210027

ROM Version: 20

Sample Name:

Date:

Operator:

ABS



UV1100 Spectrophotometer

Serial NUM: 5210027

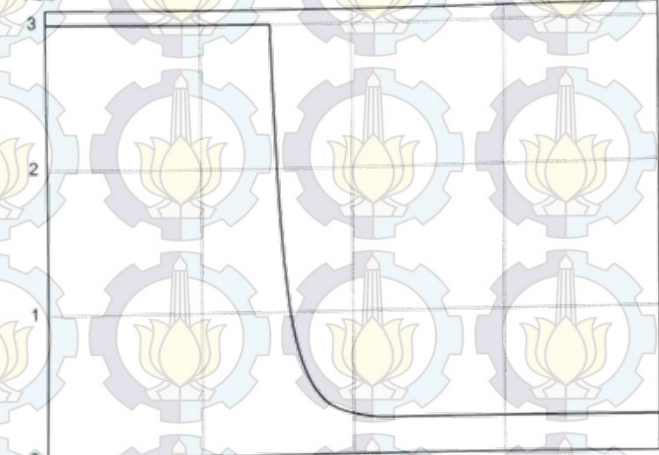
ROM Version: 20

Sample Name:

Date:

Operator:

ABS



Wavelength Scan

Data Mode:

Scan Range:

Slit Width:

Speed (nm/min) :

Lamp Change Wavelength:

Path Length:

Peak

WL (nm)

338.0

ABS

400.0-200.0nm

4nm

200nm/min

340.0nm

Path Length:

WL (nm)

352.8

0.0253

Wavelength Scan

Data Mode:

Scan Range:

Slit Width:

Speed (nm/min) :

Lamp Change Wavelength:

Path Length:

Peak

WL (nm)

338.0

ABS

400.0-200.0nm

4nm

200nm/min

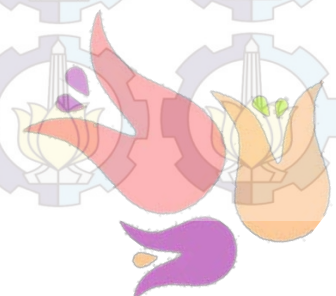
340.0nm

Path Length:

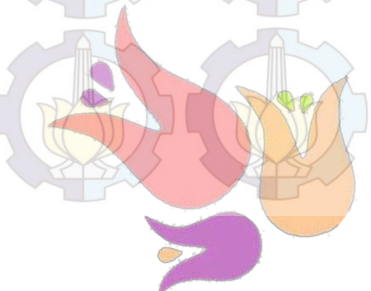
WL (nm)

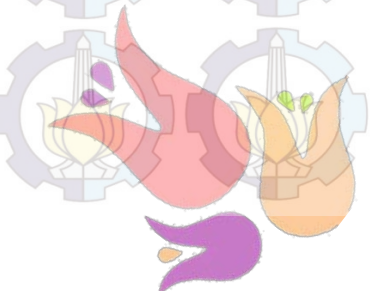
352.8

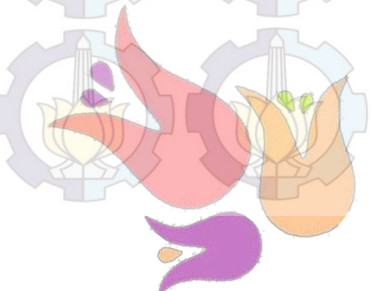
0.0253

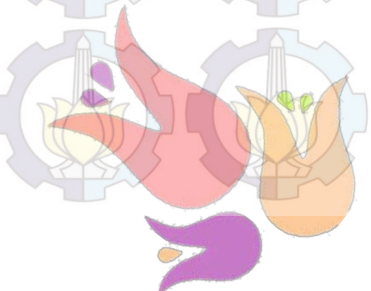
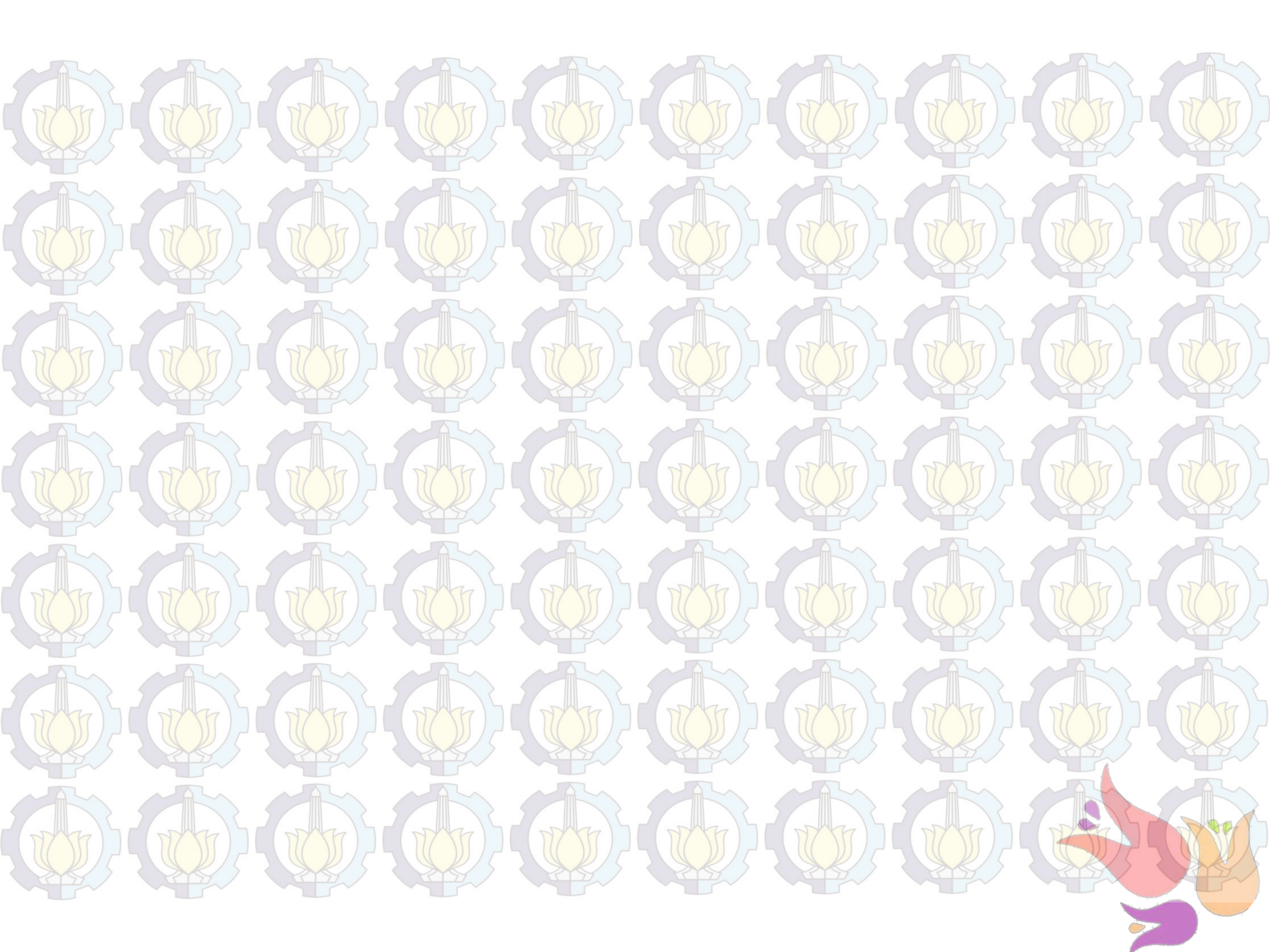


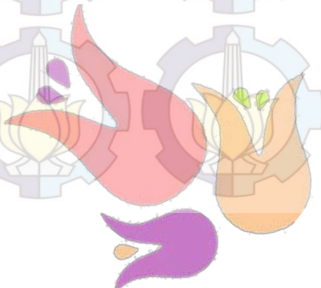
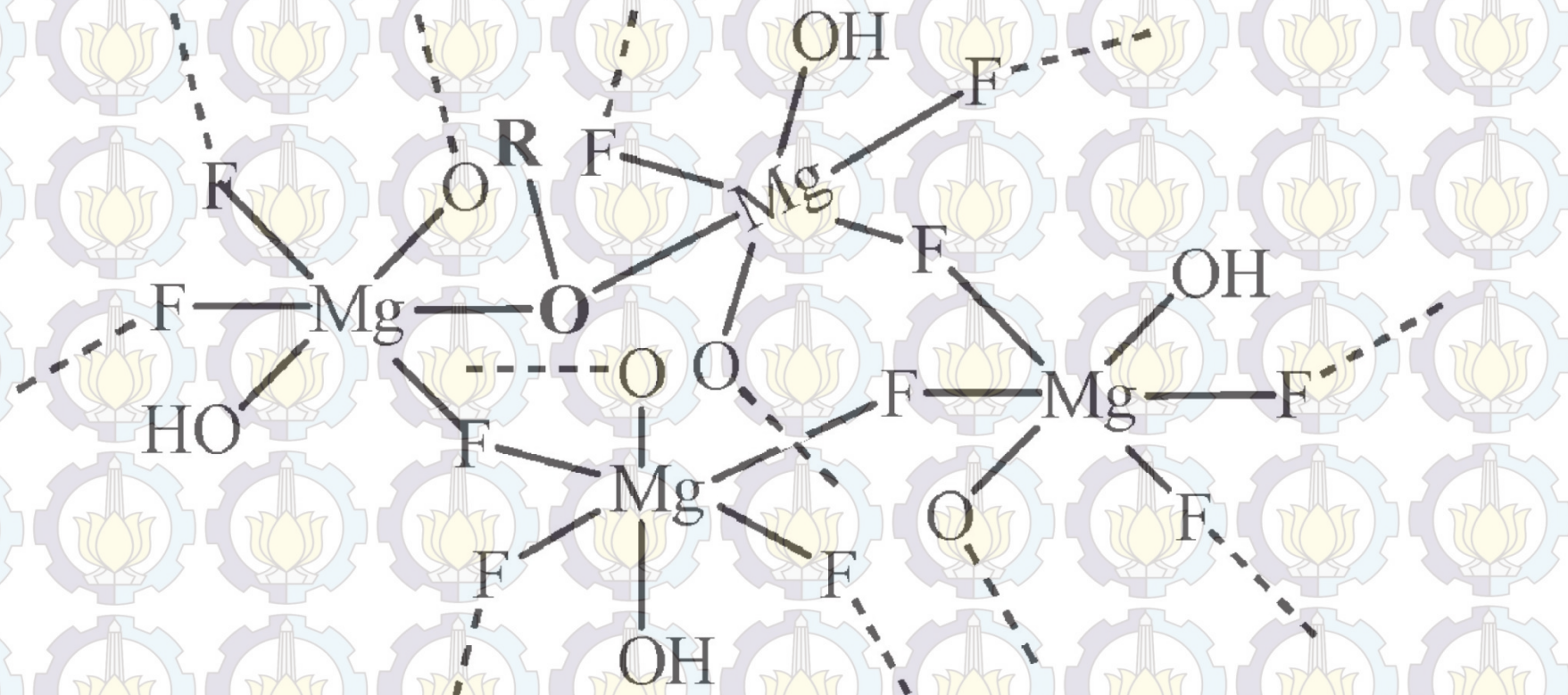
Katalis	Absorbansi TMHQ	Benzofuran
$MgF_{0,66}(OH)_{1,34}$	0.025	0.0165
$Mg_{0,975}Cu_{0,025}F_{0,66}(OH)_{1,34}$	0.019	0.0104
$Mg_{0,95}Cu_{0,05}F_{0,66}(OH)_{1,34}$	0.028	0.0181
$Mg_{0,925}Cu_{0,075}F_{0,66}(OH)_{1,34}$	0.027	0.0158
$Mg_{0,9}Cu_{0,1}F_{0,66}(OH)_{1,34}$	0.032	0.0209
$Mg_{0,85}Cu_{0,15}F_{0,66}(OH)_{1,34}$	0.024	0.0146

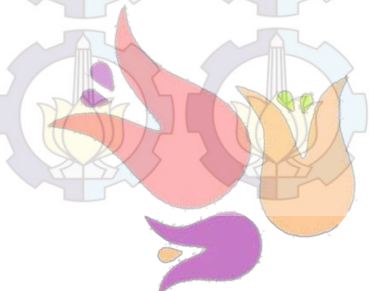


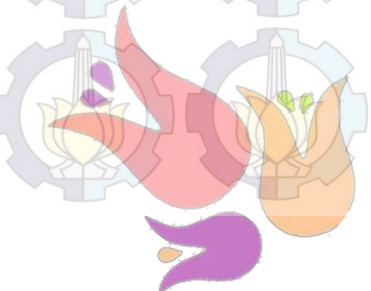












Spektra FTIR Mg(OCH)₃

